

LANCÉ

Servicio Clima Espacial

Reporte Semanal

<http://www.sciesmex.unam.mx>



AEM
AGENCIA ESPACIAL MEXICANA



CENAPRED
CENTRO NACIONAL DE
PREVENCIÓN DE DESASTRES

Reporte semanal: del 10 al 16 de diciembre de 2021

CONDICIONES DEL SOL

Regiones Activas (RA): 5 (2909, 2908, 2907, 2906, 2905).

Hoyos coronales: Varios a lo largo del disco solar.

Fulguraciones solares: Se registraron 30 de tipo C, la mayoría provenientes de la RA 2907.

Eyecciones de masa coronal: Se detectaron 16 eventos. Aparentemente ninguno se dirigió hacia la Tierra.

CONDICIONES DEL MEDIO INTERPLANETARIO

Se registró una región de interacción entre corrientes sin afectaciones geomagnéticas.

CONDICIONES DE MAGNETÓSFERA

Índice K local y global: No se registraron perturbaciones importantes. Índice Dst y DH: No se registró actividad geomagnética significativa.

CONDICIONES DE LA IONOSFERA

No se registraron perturbaciones ionosféricas significativas.

CONDICIONES DE RAYOS CÓSMICOS SOBRE MÉXICO

No se detectaron cambios significativos en el flujo de partícula

PRONÓSTICOS

Viento solar:

- Se pronostica ambiente solar terrestre dominado por corrientes de viento solar rápido y lento con velocidades que oscilan entre los 600 y los 300 km/s respectivamente. En los próximos días no se espera la llegada de alguna EMC ni regiones de interacción que afecten a la Tierra

Fulguraciones solares:

- Se deben monitorear las regiones activas 2907, 2908 y 2909 pues la primera ha producido muchas fulguraciones tipo C en los últimos días.

Tormentas ionosféricas:

- No se esperan perturbaciones ionosféricas significativas en los próximos días.

Tormentas geomagnéticas:

- No se esperan perturbaciones geomagnéticas en los próximos días.

Tormentas de radiación solar:

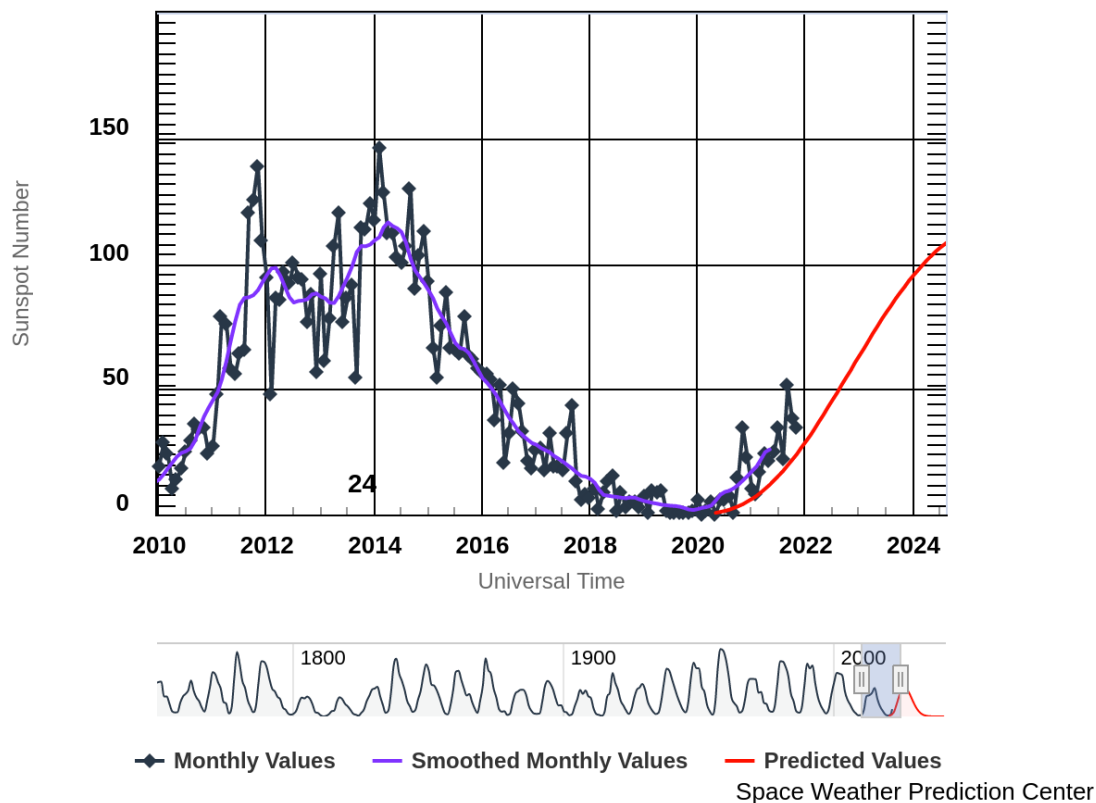
- No se esperan tormentas significativas en la próxima semana.

Eventos de partículas energéticas:

- No se pronostican variaciones significativas en la próxima semana.

Ciclo de manchas solares y la actividad solar

ISES Solar Cycle Sunspot Number Progression



La figura muestra el conteo del número de manchas solares desde 2009, cubriendo el ciclo solar 24 y la predicción de cómo se espera el ciclo 25.

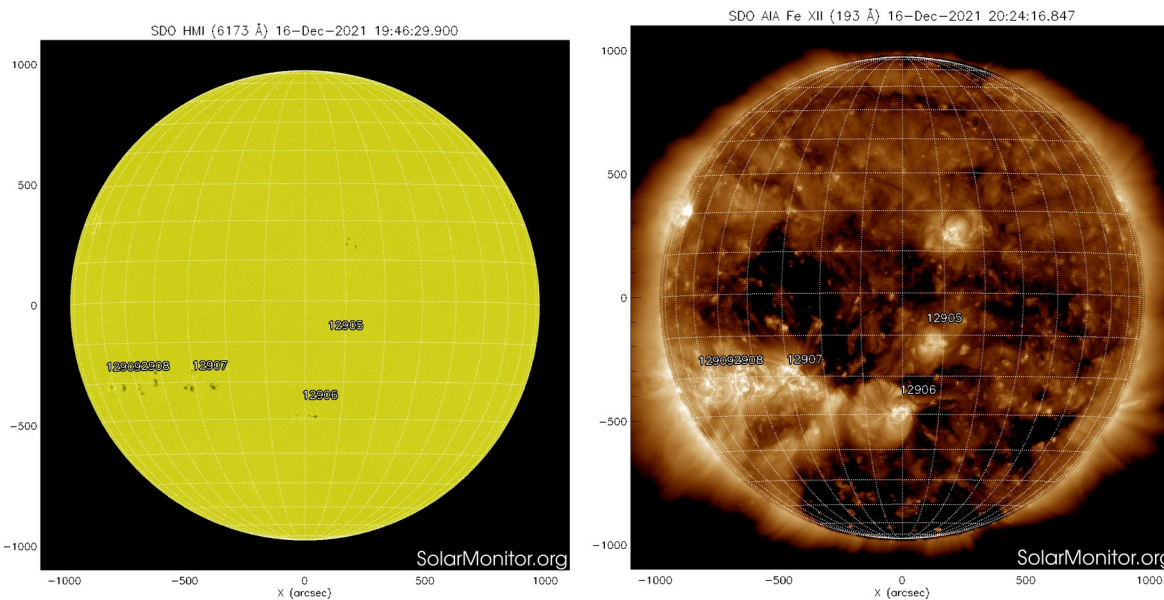
Entre más manchas solares presente el Sol, es mayor la posibilidad de que ocurra una tormenta solar.

Estamos iniciando el nuevo ciclo solar número 25.

Atmósfera solar y las capas solares

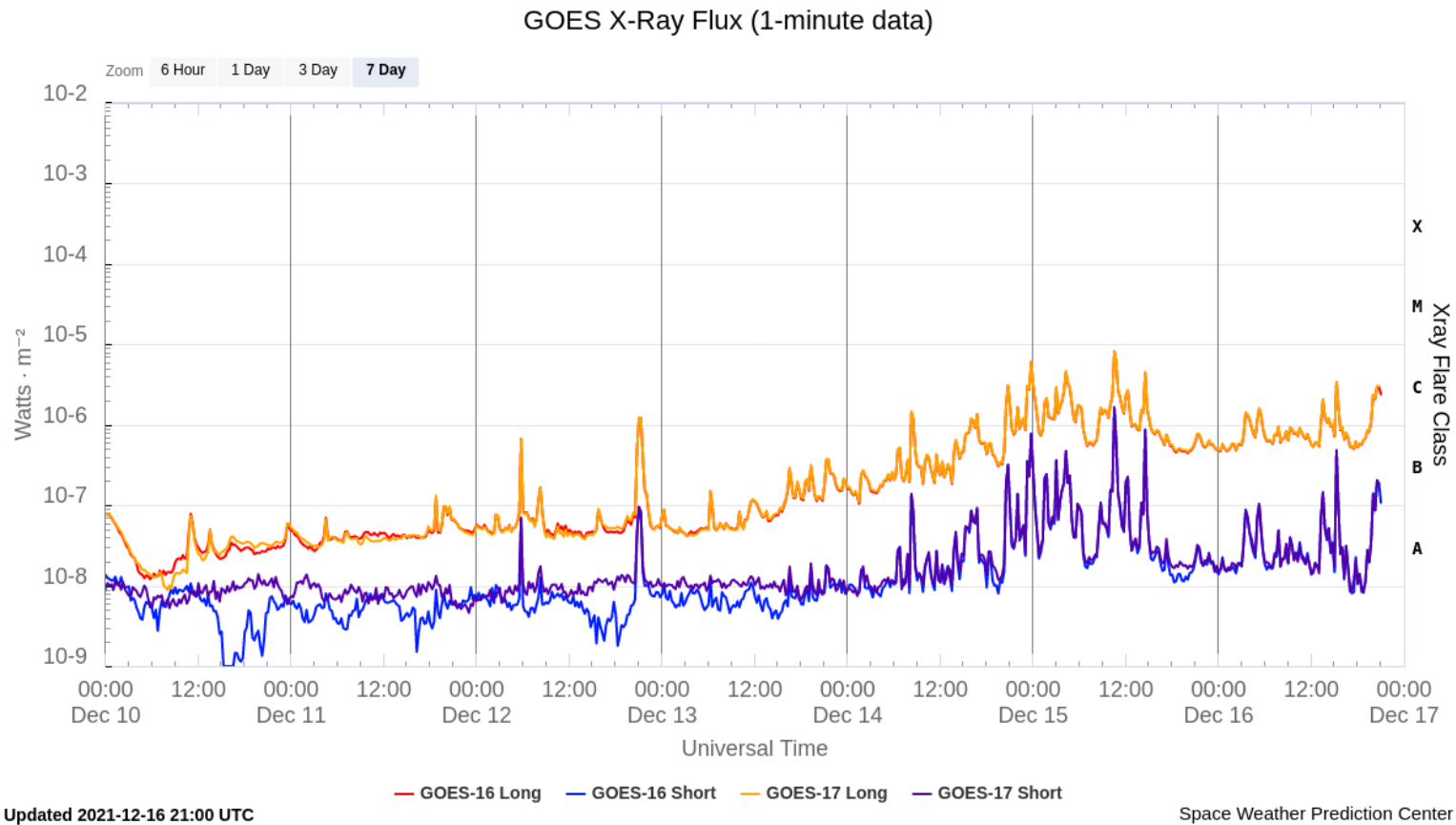
El Sol hoy visto en dos longitudes de onda que muestran la fotosfera y la corona.

A la izquierda: La fotosfera es la zona “superficial” del Sol, donde aparecen las manchas solares. Regiones oscuras formadas por material más frío que sus alrededores y que contienen intensos campos magnéticos. Las manchas solares están relacionadas con la actividad solar. A la derecha: El Sol en rayos X suaves (193 Å). La emisión de Fe XII revela la estructura magnética en la alta corona que se encuentra a 1,000,000 K. Los hoyos coronales (regiones oscuras) son regiones de campo magnético solar localmente abierto. Son fuente de las corrientes de viento solar rápido.



Las imágenes del satélite SDO muestran 5 regiones de manchas solares (12909, 12908, 12907, 12906, 12905). En la imagen que muestra la corona se observan las regiones activas asociadas a las manchas solares, además se observan dos hoyos coronales uno en el lado centro-este y el segundo en el polo

Actividad solar: Fulguraciones solares



Flujo de rayos X solares detectado por los satélites GOES de la NOAA. Durante la semana se registraron 30 fulguraciones de clase C, la mayoría, provenientes de la región 12907.

Imágenes: <http://services.swpc.noaa.gov/>

Actividad solar: Eyecciones de Masa Coronal

Se registraron 16 EMC.
ninguna en aparente dirección a la Tierra.

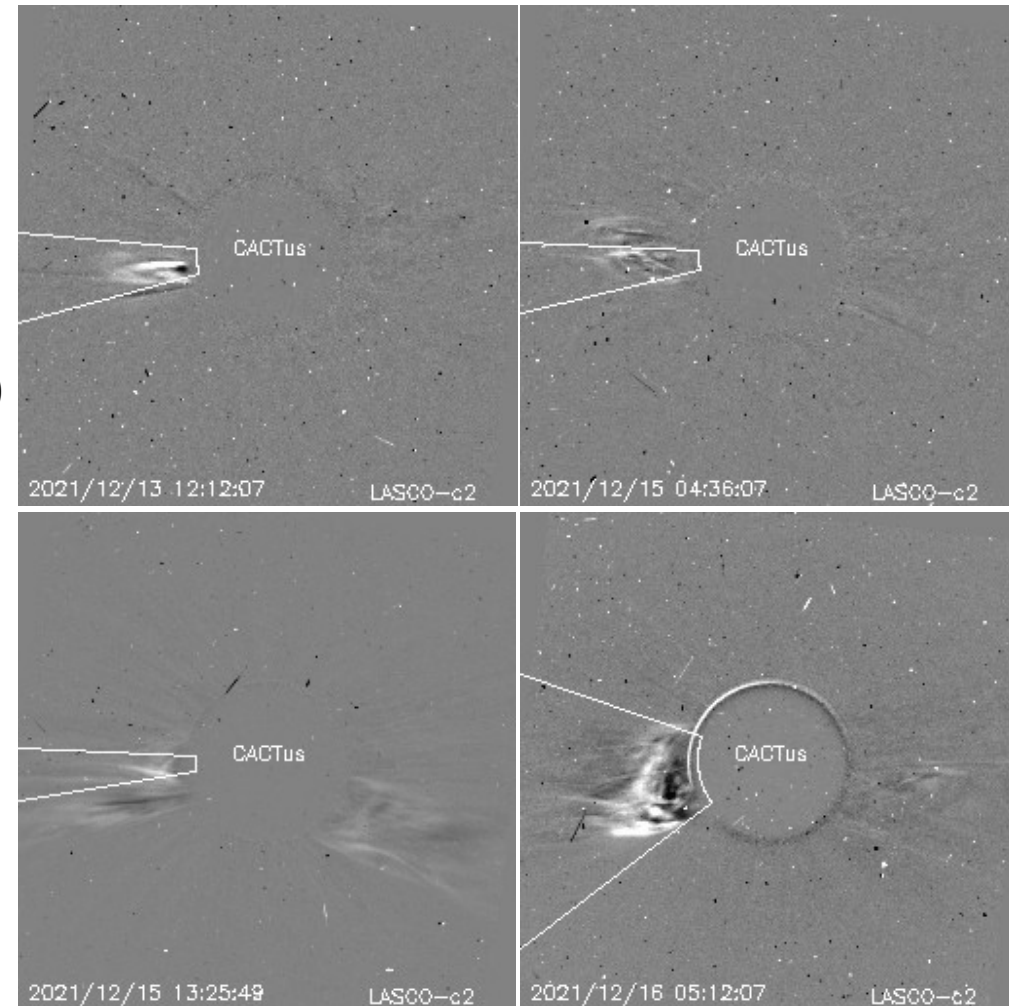
Mediciones de salida de EMC de mayor
dimensión y velocidad de esta semana:

Fecha, tiempo inicial, velocidad promedio (km/s)

2021/12/13,	11:48,	488
2021/12/15,	03:48,	469
2021/12/15,	12:48,	554
2021/12/16,	02:24,	302

-Eyecciones observadas por SOHO/LASCO con
cálculos del sitio CACTUS.

Crédito de imágenes y valores estimados:
SOHO, the SOLAR & Heliospheric Observatory
<https://wwwbis.sidc.be/cactus/>



Medio interplanetario: El viento solar cercano a la Tierra

Modelo numérico WSA-ENLIL.

Al día de hoy 16 de diciembre de 2021, el modelo pronostica el arribo de corrientes de viento solar rápido con velocidades de 600 km/s, y corrientes lentas de alrededor de 300 km/s al ambiente terrestre para los próximos días. Además no pronostica el arribo de alguna EMC para los siguientes días.

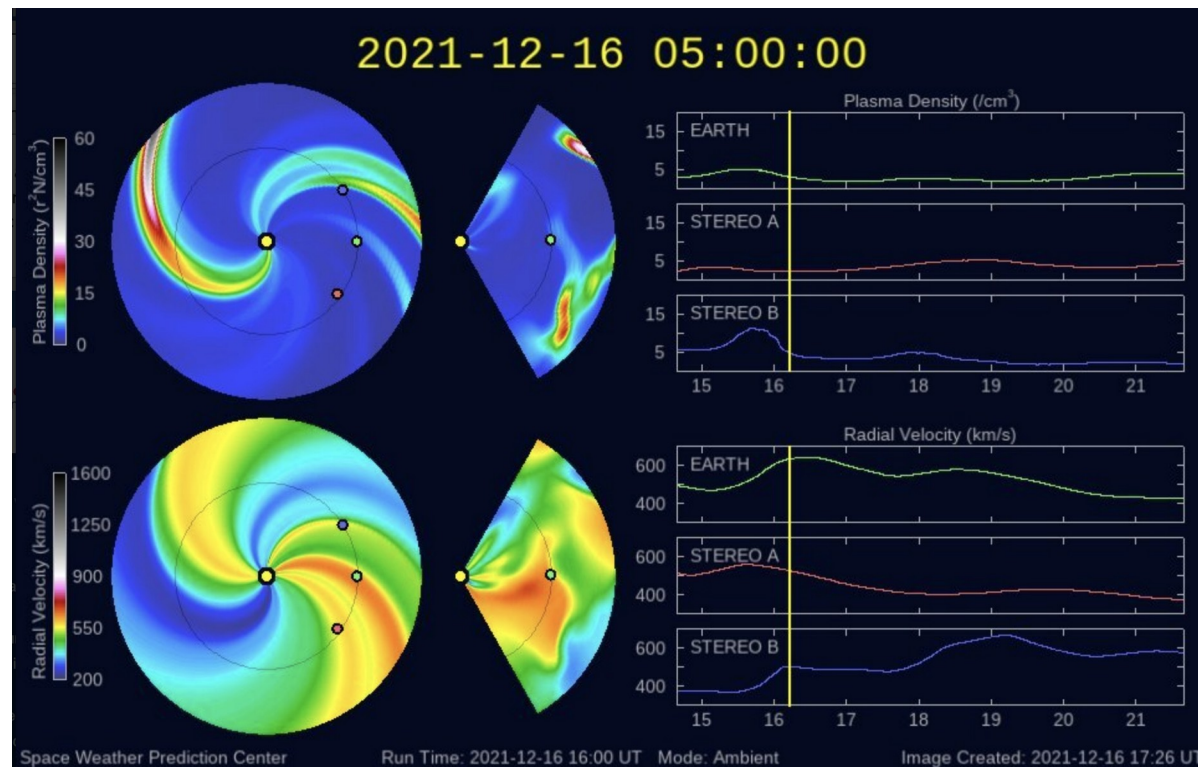


Imagen: <http://www.swpc.noaa.gov/products/wsa-enlil-solar-wind-prediction>

Medio interplanetario: Región de interacción de viento solar

CHIMERA Coronal Holes at 11-Dec-2021 20:24:40.847 UT

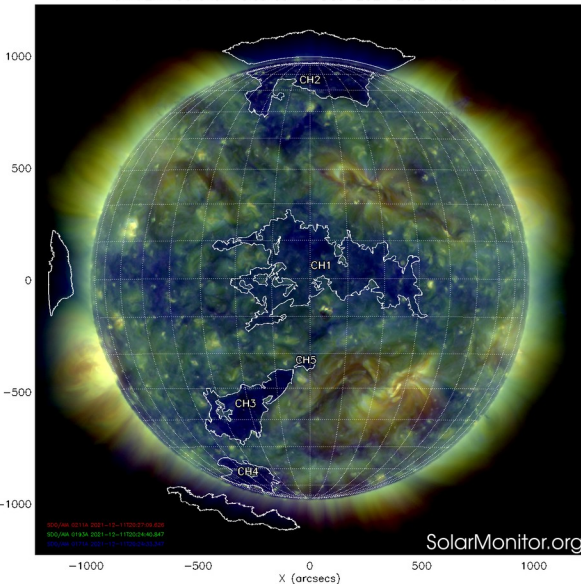


Imagen 1: <https://solarmonitor.org>

Esta semana se registró una región de interacción (ver área sombreada en imagen 3). El origen del viento solar rápido es un hoyo coronal ubicado en latitudes bajas (CH1 en imagen 1). Dicha región de interacción no generó actividad geomagnética. En la imagen 2 (área sombreada en amarillo) vemos la hoja de corriente heliosférica por abajo del plano de la eclíptica.

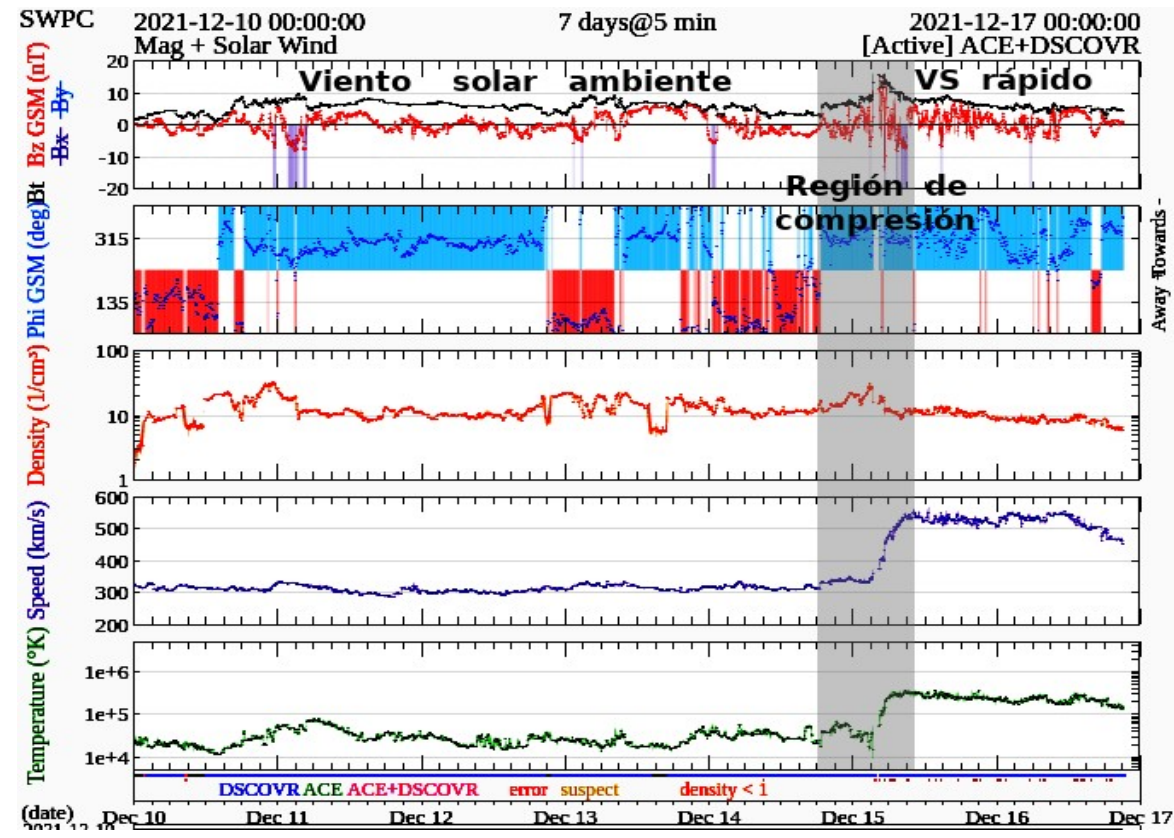


Imagen 3: <http://www.swpc.noaa.gov/products/real-time-solar-wind>

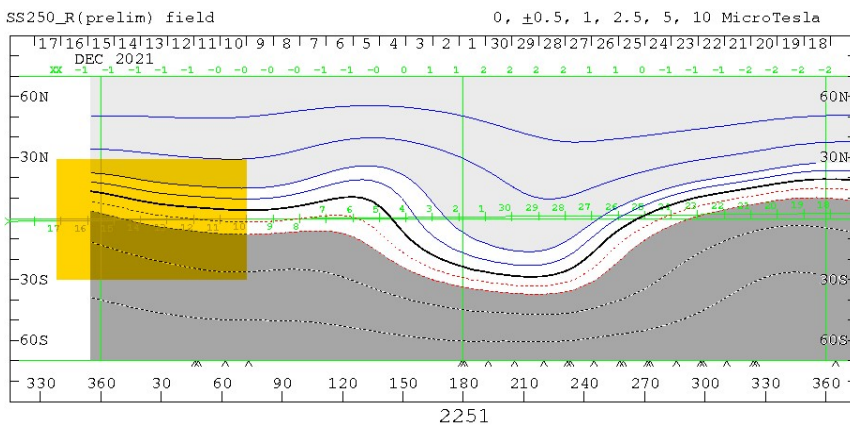


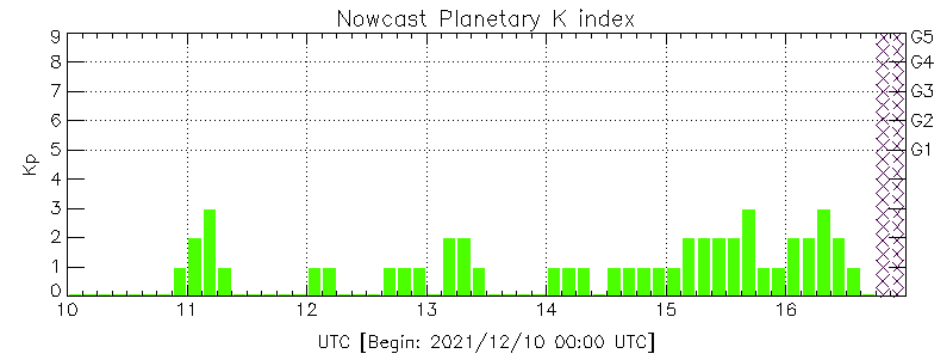
Imagen 2: <http://wso.stanford.edu/SYNOP/>

Perturbaciones geomagnéticas: Índices geomagnéticos Kp y Kmex

Fue una semana quieta, no se registraron tormentas geomagnéticas en los índices Kp y Kmex.

NOTA: El cálculo del índice Kmex se realiza por la estación geomagnética de Coeneo, Mich. Los datos son experimentales y no se deben de tomar como definitivos.

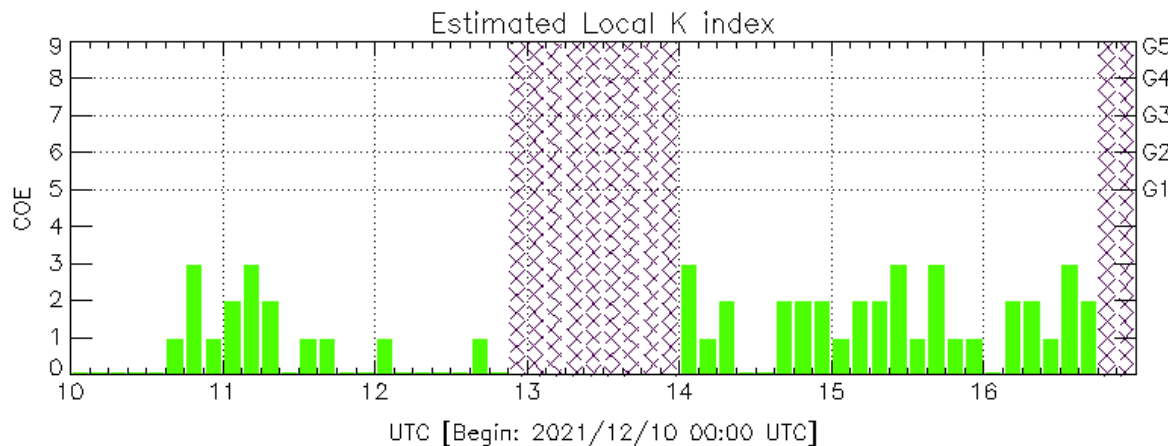
Datps: www.gfz-potsdam.de/en/kp-index/



Color Code: ■ quiet, ■ disturbed, ■ storm, XXXX data not available.

Kp: by GFZ German Research Center for Geosciences
<https://www.gfz-potsdam.de/en/kp-index/>

Updated: 2021/12/16-16:59 UTC



Color Code: ■ quiet, ■ disturbed, ■ storm, XXXX data not available.

COE: Coeneo Geomagnetic Station (LAT 19.81, LON -101.69)
LANC/SCIESMEX - Morelia, Mich., MX

Updated: 2021/12/16-15:59 UTC

El índice K indica la intensidad de las variaciones del campo magnético terrestre en intervalos de 3 horas.

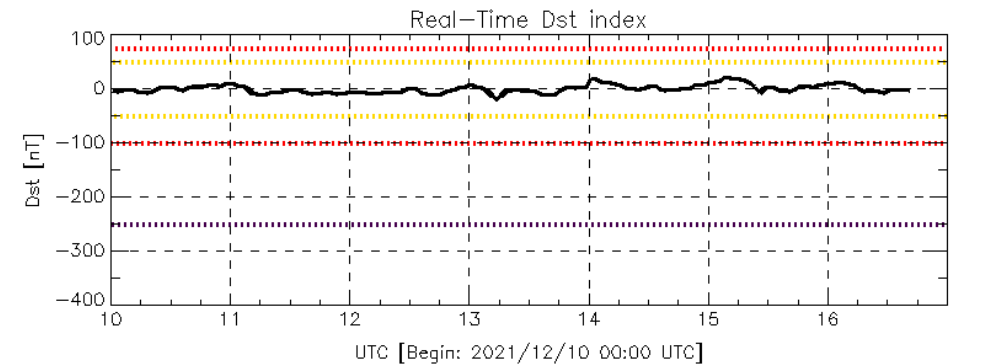
El índice Kp lo expresa a escala planetaria, mientras que el Kmex lo hace para el territorio mexicano.

Perturbaciones geomagnéticas: Índice Dst y ΔH

No se registraron perturbaciones geomagnéticas significativas en los índices Dst y ΔH durante la semana.

NOTA: El cálculo del índice ΔH se realiza por la estación geomagnética de Coeneo, Mich. Los datos son experimentales y no se deben de tomar como definitivos.

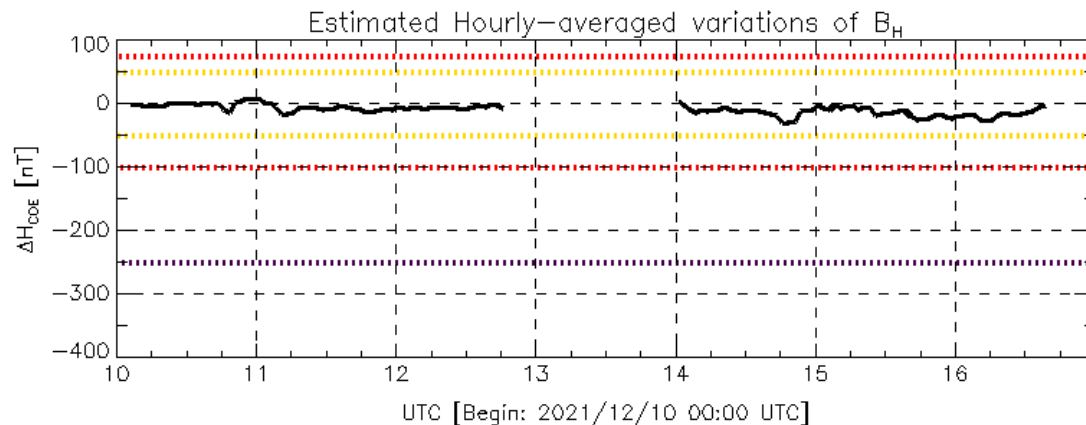
Datos: wdc.kugi.kyoto-u.ac.jp/dst_realtime/



Color Code: weak, moderate, intense, extreme, data not available.

Dst: by World Data Center for Geomagnetism, Kyoto
http://wdc.kugi.kyoto-u.ac.jp/dst_realtime/

Updated: 2021/12/16-16:59 UTC



Color Code: weak, moderate, intense, extreme, data not available.

COE: Coeneo Geomagnetic Station (LAT 19.81, LON -101.69)
LANC/SCIESMEX - Morelia, Mich., MX

Updated: 2021/12/16-15:59 UTC

Los índices Dst y ΔH miden las variaciones temporales de la componente horizontal del campo geomagnético, el primero a escala planetaria y el segundo para México.

Estas variaciones, en general, se deben al ingreso de partículas cargadas, provenientes del espacio exterior, al ambiente espacial terrestre.

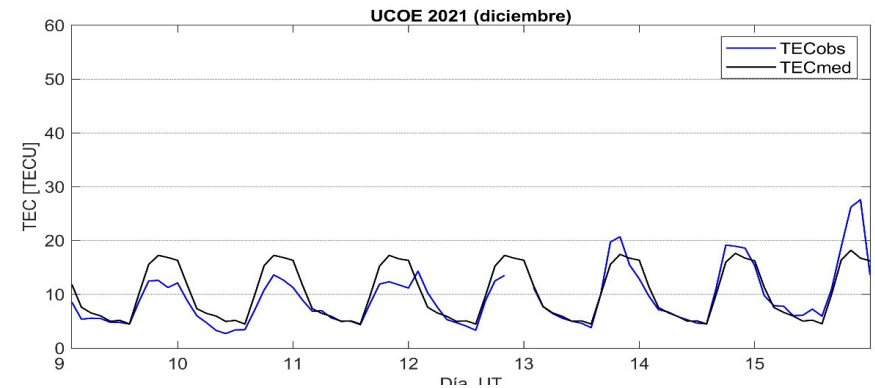
Ionósfera sobre México: TEC en el centro del país

El contenido total de electrones (TEC) es un parámetro que sirve para caracterizar el estado de la ionosfera de la Tierra.

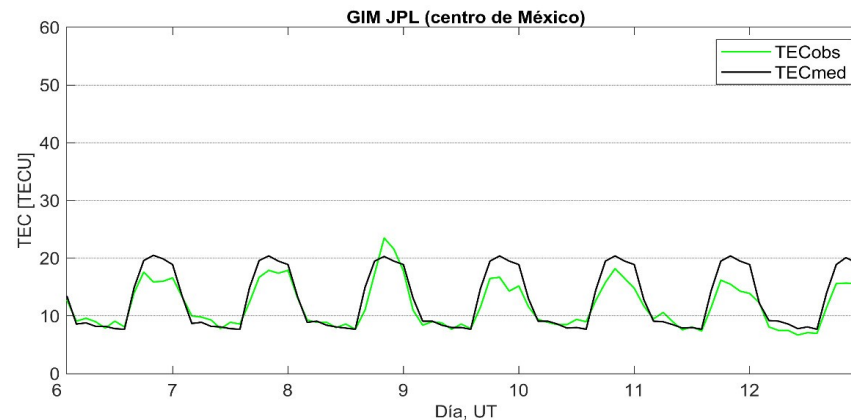
Series temporales de los valores de TEC (TECobs) con referencia a su valor mediano (TECmed):

(1) con base en los datos de la estación local UCOE (TLALOCNet, UNAVCO) ubicada en las instalaciones del MEXART

El cálculo se realiza en base del software "TayAbsTEC" del Instituto de Física Solar-Terrestre, SB RAS. Referencia: Yasyukevich et al., 2015, doi: 10.1134/S001679321506016X.

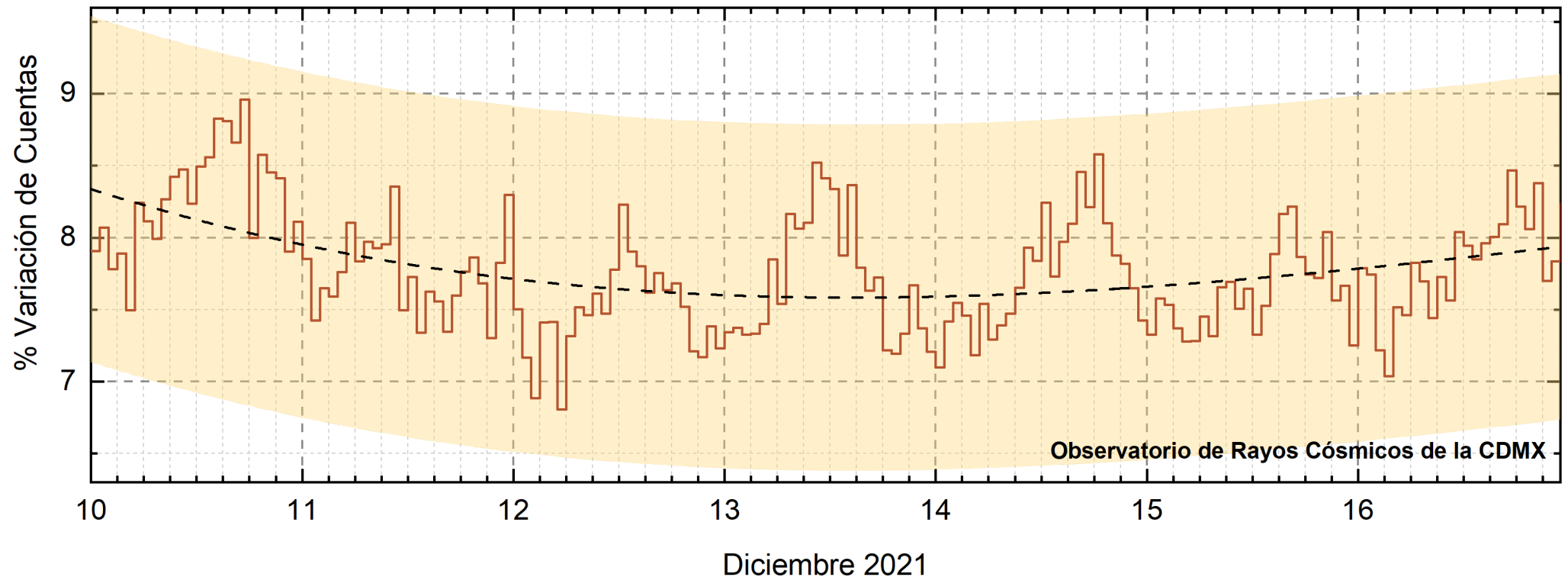


(2) con base de los mapas ionosféricos globales (GIM JPL)



Según los datos locales y globales disponibles, esta semana se observaron valores disminuidos y aumentados de TEC. Estas variaciones no son significativas.

Rayos Cósmicos:



<http://www.cosmicrays.unam.mx/>

Datos registrados por el Observatorio de Rayos Cósmicos de la Ciudad de México. La curva discontinua negra representa el promedio de los datos registrados, el área coloreada en amarillo representa la significación de los datos ($\pm 3\sigma$). Cuando se registran variaciones que salen del área, es probable que éstas sean atribuidas a efectos de emisiones solares en el flujo de rayos cósmicos.

Del 10 al 16 de diciembre de 2021, no se detectaron variaciones significativas ($\pm 3\sigma$) en las cuentas de rayos cósmicos.

UNAM/LANCE/SCIEMEX

Dr. J. Américo González Esparza
Dr. Pedro Corona Romero
Dra. Maria Sergeeva
Dr. Julio C. Mejía Ambriz
Dr. Luis Xavier González Méndez
Dr. José Juan González Avilés
Ing. Ernesto Andrade Mascote
M.C. Pablo Villanueva Hernández
Ing. Adan Espinosa Jiménez
Ing. Juan Luis Godoy Hernández
Dr. Ernesto Aguilar-Rodríguez
Dra. Verónica Ontiveros
Dra. Tania Oyuki Chang Martínez
M.C. Juan José D'Aquino
Dr. Víctor José Gatica Acevedo
M.C. Angela Melgarejo Morales
Isaac David Orrala Legorreta

UNAM ENES-Morelia

Dr. Mario Rodríguez Martínez
Dr. Víctor De la Luz Rodríguez
Lic. Shaden Saray Hernández Anaya
M.C. Raúl Gutiérrez Zalapa
Rafael Zavala Molina
Vanessa Arriaga Contreras

UNAM/PCT

Lic. Elizandro Huipe Domratheva
M.C. Víctor Hugo Méndez Bedolla
M.C. Elsa Sánchez García
M.C. Carlos Arturo Pérez Alanís

UANL/LANCE

Dr. Eduardo Pérez Tijerina
Dr. Enrique Pérez León
Dr. Carlos de Meneses Junior
Dra. Esmeralda Romero Hernández

UNAM/IGF/RAYOS CÓSMICOS

Dr. José Francisco Valdés Galicia
Fis. Alejandro Hurtado Pizano
Ing. Octavio Musalem Clemente

SERVICIO MAGNÉTICO

M.C. Esteban Hernández Quintero
M.C. Gerardo Cifuentes Nava
Dra. Ana Caccavari Garza

CPCET/SAET-IPN

Ing. Julio César Villagrán Orihuela
Miguel Daniel González Arias
Carlos Escamilla León
Jessica Juárez Velarde
Pablo Romero Minchaca
Eric Bañuelos Gordillo
Alfonso Iván Verduzco Torres
Alain Mirón Velázquez
Christian Armando Ayala López
Katia Lisset Ibarra Sánchez
Angel Alfonso Valdovinos Córdoba

Elaboración: Lic. Elizandro Huipe Domratheva y
Equipo SCiESMEX

Revisión: Ernesto Aguilar Rodríguez

Agradecimientos

El Laboratorio Nacional de Clima Espacial (LANCE) es parcialmente financiado por: el programa Cátedras CONACYT Proyecto 1045 y el Fondo Sectorial AEM-CONACYT proyecto 2014-01-247722. Agradecemos al proyecto Conacyt – Repositorio Institucional de Clima Espacial 268273. Agradecemos al proyecto AEM-2018-01-A3-S-63804 del Fondo Sectorial CONACYT-AEM. Agradecemos a todos los responsables y colaboradores de instrumentos del LANCE y a las redes de estaciones GPS del Servicio Sismológico Nacional y TlalocNET por facilitar sus datos. Agradecemos a Gerardo Cifuentes, Esteban Hernández y Ana Caccavari por los datos del Observatorio Magnético de Teoloyucan. De igual forma, agradecemos los servicios de IGS (International GNSS Service) por permitirnos usar los datos IONEX disponibles en: <https://cddis.nasa.gov/archive/gnss/products/ionex>. Los valores de TEC fueron obtenidos a partir de observaciones de las redes GPS del Servicio Sismológico Nacional (SSN), SSN-TLALOCNet y TLALOCNet del Servicio de Geodesia Satelital (SGS). Agradecemos al personal del SSN y del SGS por el mantenimiento de estaciones, la adquisición de datos y el soporte de IT de estas redes. Las operaciones de la red TLALOCNet y SSN-TLALOCNet GPS han sido apoyadas por The National Science Foundation bajo el proyecto EAR-1338091 a UNAVCO Inc., los proyectos CONACyT 253760 y 256012 y los proyectos UNAM-PAPIIT IN109315-3 y IN104818-3 de E. Cabral-Cano y el proyecto UNAM-PAPIIT IN111509 de R. Pérez. De igual forma, agradecemos a los proyectos de infraestructura del CONACyT: 253691 y del PAPIIT-DGAPA: IA107116 para el fortalecimiento de equipos como la estación fija de GPS, que forman parte del LACIGE-UNAM, de la ENES unidad Morelia a cargo de M. Rodríguez-Martínez, El cálculo de TEC se realiza: 1) utilizando el software US-TEC que es un producto de operación del Space Weather Prediction Center (SWPC), desarrollado a través de una colaboración entre National Geodetic Survey, National Oceanic and Atmospheric Administration (NOAA) y el Cooperative Institute for Research in Environmental Sciences of the University of Boulder, Colorado, 2) con base en el software TayAbsTEC del Instituto de Física Solar-Terrestre, sección Siberiana de la Academia de Ciencias Rusa. Parte del procesamiento de datos se lleva a cabo dentro del centro de Supercómputo de Clima Espacial (CESCOM) del LANCE. Así mismo agradecemos al Space Weather Forecasting Center for Astrophysics & Space Research de la University of California in San Diego y al Korean Space Weather Center por los datos de pronóstico para los modelos WSA-ENLIL y los mapas tomográficos por IPS. Agradecemos a la red e-callisto por los datos proporcionados de espectros electromagnéticos dinámicos de la red internacional de registro de eventos de radio solares.

Datos

Imágenes de coronógrafo, flujo de rayos X y modelo WSA-ENLIL:

<http://www.swpc.noaa.gov/products>

<http://iswa.ccmc.gsfc.nasa.gov/IswaSystemWebApp/>

Imágenes de coronógrafo:

<http://sohowww.nascom.nasa.gov/data/>

Imágenes del disco solar y de la fulguración:

<http://www.solarmonitor.org/>

Detección y caracterización de EMCs:

<http://www.sidc.oma.be/cactus/out/latestCMEs.html>

<http://spaceweather.gmu.edu/seeds/>

ISES:

<http://www.spaceweather.org/>

International Network of Solar Radio Spectrometers (e-callisto):

<http://www.e-callisto.org/>

German Research Center For Geosciences Potsdam:

<http://www.gfz-potsdam.de/en/sektion/erdmagnetfeld/daten-dienst/e/kp-index/>

Data Analysis Center for Geomagnetism and Space Magnetism, Kyoto University:

<http://wdc.kugi.kyoto-u.ac.jp/index.html>

UNAVCO:

<http://www.unavco.org>

SSN:

<http://www.sismologico.unam.mx/>

SOHO Spacecraft NASA:

<http://sohowww.nascom.nasa.gov/>

SDO Spacecraft NASA:

<http://sdo.gsfc.nasa.gov/>

Space Weather Prediction Center NOAA:

<http://www.swpc.noaa.gov>

GOES Spacecraft NOAA:

<http://www.ngdc.noaa.gov/stp/satellite/goes/index.html>

ACE Spacecraft NOAA

<http://www.srl.caltech.edu/ACE/ASC/index.html>